

PAPER DETAILS

TITLE: Plakali Kanatçikli Isi Degistiricilerde Kanat Açısinin Isi Transferine Olan Etkisinin Üç Boyutlu Sayisal Olarak Incelenmesi

AUTHORS: Ertan BUYRUK,Koray KARABULUT

PAGES: 49-62

ORIGINAL PDF URL: <https://dergipark.org.tr/tr/download/article-file/298881>

Plakalı Kanatçıklı Isı Değiştircilerde Kanat Açısının Isı Transferine Olan Etkisinin Üç Boyutlu Sayısal Olarak İncelenmesi

Ertan BUYRUK¹, Koray KARABULUT^{*2}

¹Cumhuriyet Üniversitesi, Mühendislik Fakültesi, Makine Mühendisliği Bölümü, Sivas

²Cumhuriyet Üniversitesi, Mühendislik Fakültesi, Enerji Sistemleri Mühendisliği Bölümü, Sivas

Geliş tarihi: 06.01.2017 Kabul tarihi: 14.03.2017

Öz

Bu çalışmada, plakalı kanatçıklı ısı değiştiricilerde ısı transferini artırmak için birleşik (taşınım ve iletim) ısı transferi yaklaşımıyla 2 mm kanatçık yükseklikli 30° ve 60° kanatçık açılı ve akışa dik yatay yönde 10 mm ötelemiş dikdörtgensel kanatçıkların ısı transferi potansiyeli ve basınç düşüşü sayısal olarak incelenmiştir. Sayısal hesaplamalar, üç boyutlu Navier-Stokes ve enerji denkleminin FLUENT programı kullanılarak çözülmeyeyle zamandan bağımsız olarak elde edilmiştir. Çalışma akışkanı olarak hava kullanılmıştır. Çalışma, $Re= 400$ için soğuk ve sıcak hava kanala giriş hızlarının sırasıyla 1,338 m/s ve 0,69 m/s, giriş sıcaklıklarının ise 27°C ve 327°C olarak alınmasıyla yapılmıştır. Sonuçlar soğuk akışkan sıcaklığının ters akış durumunda 30° kanatçık açılı kanalın çıkışında düz kanala göre %9 artırıldığını göstermektedir. Çalışmada, paralel ve ters akış şartlarında Reynolds sayısının farklı değerlerinin ve farklı kanatçık yükseklikleri ve kanatçık aralıklarının ısı transferi artışı üzerindeki etkisi ve ayrıca kanalın dış yüzeyinin soğuk ve sıcak akışkan taraflarındaki sıcaklık dağılımları da 30° ve 60° kanatçık açıları için incelenmiştir.

Anahtar Kelimeler: Plakalı ısı değiştirici, Sayısal ısı transferi, Kanat

The Three Dimensional Numerical Investigation of the Effect of Fin Angle on the Heat Transfer in Plate Fin Heat Exchangers

Abstract

In the present study, the heat transfer potential of rectangular fins with 30° and 60° angle and 2 mm fin height and 10 mm offset from the horizontal direction perpendicular to flow for heat transfer enhancement with the use of a conjugated heat transfer approach and pressure drop are numerically evaluated in the plate fin heat exchangers. The numerical computations are performed by solving a steady, three-dimensional Navier-Stokes equation and an energy equation by using Fluent software program. Air is taken as a working fluid. The study is carried out at $Re= 400$ and inlet temperatures, velocities of cold and hot air are fixed as 27°C, 327°C and 1.338 m/s, 0.69 m/s, respectively. The results

*Sorumlu yazar (Corresponding author): Koray KARABULUT, kkarabulut@cumhuriyet.edu.tr

show that the temperature of cold fluid is increased by 9 percent at the exit of channel with a fin angle of 30° when compared to the channel without fins for counter flow. On heat transfer enhancement the effect of different values of Reynolds number and fin heights and fin intervals and also temperature distributions on the cold and hot fluid sides of the channel outside surface are investigated for fin angles of 30° and 60° at parallel and counter flow in the study.

Keywords: Plate heat exchanger, Numerical heat transfer, Fin

1. GİRİŞ

İst deşitiricilerindeki ist transferini iyileştirmeye çalışmalarında arzu edilenler; ağırlık ve boyutta azalmaya imkan sağlamak, ist transferi miktarını artırmak, akışkanlar arasındaki ortalama sıcaklık farkını azaltmak ve böylece toplam verimliliği iyileştirmektir. İst transferini artırmak için kullanılan yöntemler genellikle genişletilmiş yüzeyleri, yüzeye yapılacak birtakım değişiklikleri, akış alanında oluşturulmak istenen türbülansı içermektedir [1].

Bugünün teknolojisinde ist transferi miktarını artırmada yoğun olarak kullanılan yöntemlerden birisi, genişletilmiş ist transferi yüzeyleridir (kanatçıklar). Kanatçıklı (genişletilmiş) yüzeyler, yüzey alanını ve akımın türbülansını artırmak suretiyle taşınımıla ist ve kütle aktarımını artırırlar. Kanatçıklı yüzeylerin uygulama alanı çok çeşitlidir. Başlıca kullanım alanları olarak gaz türbin motorlarında türbin kanatçıklarının soğutulması, elektronik cihazların soğutulması ile havacılık, uçak ve kimyasal üretim tesislerindeki çeşitli ist deşitiricileri sayılabilir. Bununla birlikte, kanatçıkların uygun şekilde kullanılmaması ist geçişini artırmak yerine azaltabilir. Kanatçık malzemesinin, tipinin, yerleştirilme düzeninin, yüzeye monte şeklärinin ve ortam şartlarının her birisinin ayrı ayrı ele alınarak incelenmesi ve ist geçişini artıracak şekilde değerlendirilmeleri gereklidir. İst deşitiricilerinde transfer edilen ist miktarının düşmesi, ist deşitiricinin performansının düşmesine neden olur. Bu da ist deşitiricisi kullanılan sistemde kapasite kaybı anlamına gelmektedir. İst transferinin iyileştirilmesi, sistem boyutlarının uygun ölçülerde tutulmasına ve dolayısıyla sistem maliyetinin ve işletme giderlerinin azaltılmasına olanak sağlar. Plakalı ist deşitiricilerinde, ist

transferi ve akış yapılarını anlamak için birçok teorik ve deneyel çalışma yapılmıştır. Yapılan çalışmaların bir tanesinde, farklı kurulumlarla oluşturulan kanatçıkları kullanarak, laminer ve düşük türbülanslı akış oranları için tablet tipi ist deşitiricilerde ist transferi artırımı deneyel ve sayısal olarak araştırılmıştır [2]. Lee ve Abdel-Moneim [3] tarafından CFD modelinin kullanılmasıyla iki boyutlu düz dişli yatay yüzeyden olan ist transferi ve akış biçimini sayısal olarak araştırılmıştır. Acharya ve arkadaşları [4], periyodik olarak gelişen akış alanı için kanatçıklara sahip kanalda akış ve ist transferini deneyel ve sayısal olarak incelemiştir. Liou, Chang ve Hwang [5] ve Liou ve Hwang [6] farklı kanatçık yüksekliği ve debilerde, farklı eğim açılarında peş peşe düzenlenen iki çift türbülans oluşturucu için araştırmalar yapmışlardır ($1,2 \times 10^4 < Re < 12 \times 10^4$). İki boyutlu dikdörtgensel kanala yerleştirilen üç farklı genişletilmiş yüzey geometrisinin ist transferi üzerindeki etkileri Kaya ve arkadaşları tarafından araştırılmıştır [7]. Buyruk ve arkadaşları [8] ve Buyruk ve Karabulut [9], yatay eksende 10 mm ötelenmiş, 4 mm kanatçık yüksekliği ve yatay eksenle arasında 30° , 60° ve 90° olmak üzere farklı kanatçık açılarına sahip plakalı kanatçıklı ist deşitiricileri için ist transferi artışı sayısal olarak incelemiştir. Ayrıca, dış zikzak-iç zikzak-düz-dış zikzak ve iç zikzak-düz-iç zikzak olmak üzere farklı dikdörtgensel kanatçık geometri dizimlerine sahip plakalı kanatçıklı ist deşitiricilerde kanatçiksız düz kanala göre ist transferi artışı Buyruk ve Karabulut [10] tarafından değerlendirilmiştir. Ganzarolli ve Alternai [11], çalışma akışkanı olarak havayı kullanarak en düşük giriş sıcaklık farkı ve en az sayıdaki entropi üretim birimi şartlarına göre ters akışlı bir ist deşitiricisinin ıslı dizaynını yapmışlardır. Wang ve arkadaşları [12], düz ve tırtıklı kanatçıklı plakalı ist deşitiricileri için akış ve ist transferi

karakteristiklerini analiz etmişlerdir. Düşük Reynolds sayılarında iki kanaatçıklı ısı değiştiricileri için sayısal simülasyonlar CFD kod FLUENT kullanılarak yapılmıştır. Wen ve arkadaşları [13], Kriging yüzey yöntemini kullanarak testere dişli kanaatçıklı plakalı bir ısı değiştiricisinin optimizasyonunu çalışmışlardır.

Bu amaçla öncelikle, optimizasyon parametreleri olarak kanaatçık kalınlığı t , kanaatçık aralığı s , kanaatçık yüksekliği h ve kanal uzunluğu l kullanılarak plakalı kanaatçıklı ısı değiştiricisinin j ve f faktörlerini hesaplamak için testere dişli kanaatçıkların sayısal simülasyonu yapılmıştır. Daha sonra bu dört optimizasyon parametresinin hassasiyet analizi, Kriging model uyumuna dayandırılarak gerçekleştirilmiştir. Masliyah ve Nandakumar [14], sonlu elemanlar yöntemini kullanarak üçgen kanaatçıklı boruların ısı transferi karakteristiklerini elde etmişlerdir. Çalışmalarında en yüksek ısı transferi için kanat kurulumlarında en uygun kanat sayısının olduğu sonucuna varmışlardır. Gupta ve arkadaşları [15], MAC yöntemini kullanarak sayısal olarak üçgen kanaatçıklı plakalı tip bir ısı değiştiricisinde ısı transferi artırımı için bir çift kanaatçık tip vorteks üretecinin akış yapısı ve performansını araştırmışlardır. Ayrıca, kanaatçık çiftinin yüksekliklerini değiştirek, ısı transferi artışı oranını belirlemişlerdir. Salehi ve arkadaşları [16], kollektör düzenlemesi ve kollektördeki akış saptırıcının yerleşiminin plakalı kanaatçıklı ısı değiştiricisinin verimliliği üzerindeki etkisini incelemiştir. Ayrıca, farklı Reynolds sayılarına karşı j faktörünü değerlendirerek plakalı kanaatçıklı ısı değiştiricileri üzerinde dört farklı üçgen kanaatçık dizisinin etkisini incelemek için sayısal olarak çalışılmışlardır. Isı değiştiricilerde, ısı transfer plakaları arasında üçgensel kanaatçık kurulumunun ısı transferi performansını iyileştirdiği sonucuna varmışlardır. Zhu ve Li [17], dört kanaatçık tipi için (dikdörtgen, çubuk, oluklu ve dalgalı kanaatçık) laminer akış rejiminde, kanaatçık kalınlığını dikkate alarak akış yapısı ve ısı transferi üzerinde isıl giriş ve çıkış etkilerini üç boyutlu sayısal olarak araştırmışlardır. Dixit ve Patil [18] çalışmalarında, genişletilmiş yüzeyler üzerinde çapraz, eğimli, V ve çoklu-V yivli düzenlemelere sahip plakalı kanaatçıklı ısı

değiştiricilerinin ısı transferi özellikleri hakkında deneyel araştırma sonuçlarını sunmuşlardır. Çalışmada değerlendirdikleri tüm kanaatçık tipleri arasında en yüksek ısı transferi artışı değerine eğimli yivli kanaatçık tipinde ulaşmışlardır. Wasewar ve arkadaşları FLUENT paket programını kullanarak, geleneksel ısı değiştiricisi ile plakalı kanaatçıklı ısı değiştiricisini karşılaştırarak akış dağılımını araştırmışlardır [19].

Literatürde belirtilen çalışmalar değerlendirildiğinde, bu çalışmada incelenen kanaatçık tiplerinin henüz araştırılmadığı görülmüştür. Bu çalışmada, plakalı kanaatçıklı ısı değiştiricileri için özgün kanaatçık geometrileri üzerinde çalışılmıştır. Bu nedenle, daha yüksek ısı transfer oranları elde etmek için düz kanala yerleştirilen dikdörtgensel tipteki bu kanaatçık geometrilerinin ısı transfer performans özelliklerini ve basınç düşüşünü araştırmak amacıyla sunulan bu çalışmada; kanaatçık yükseklikleri 2 mm olan 30° ve 60° kanaatçık açılı ve akışa dik olarak yatay yönde 10 mm otelenmiş kanaatçıkların plakalı ısı değiştiricilerinin ısı transferi, basınç düşüşü ve akış yapısı üzerindeki etkileri araştırılmıştır. Çalışmada ayrıca, kanaatçık yüksekliğinin ve kanaatçık aralığının soğuk akışkan sıcaklığı üzerindeki etkisi incelenmiş ve farklı kanaatçık açılarının kanalın alt ve üst yüzeylerinde oluşan sıcak ve soğuk akışkan sıcaklık dağılımları üzerindeki etkisi de değerlendirilmiştir. Bununla birlikte, farklı Reynolds sayılarının Nusselt sayısı üzerindeki etkisi de incelenmiştir. Hesaplamlar, FLUENT paket programı kullanılarak yapılmıştır. Sonuçlar, düz kanalla kanaatçıklı kanalların karşılaştırılmasıyla sıcaklık dağılımları, basınç düşüşü, noktalı sıcaklık ve Nusselt sayısı değişimleri olarak farklı kanaatçık açıları, kanaatçık yükseklikleri, kanaatçık aralıkları ve akış tipleri için sunulmuştur.

2. SAYISAL YÖNTEM

Sayısal çalışma üç boyutlu, zamandan bağımsız, birleşik (iletim ve taşınım) ısı transferi yaklaşımıyla çözülmüştür. Birleşik ısı transferi analizini çözmek için sonlu hacimler yöntemi (FLUENT programı) kullanılmıştır.

Sonlu hacimler yöntemi, çözülecek geometriyi parçalara bölgerek bu parçaların her biri için çözüm yapma ve daha sonra bu çözümleri birebirleştirerek problemin genel çözümünü bulma esasına dayanır. Sonlu hacimler yöntemi, korunum denklemelerini sayısal olarak çözümlenebilen cebirsel denklem sistemlerine dönüştürmek için kontrol hacim esaslı bir teknik kullanır. Bu teknik her bir kontrol hacmi için korunum denklemelerinin integrasyonunun alınması sonucunda, değişkenler için kontrol hacmini sağlayan ayrı eşitliklerin elde edilmesini içerir. Ayrı eşitliklerin doğrusallaştırılması ile elde edilen, doğrusal denklem sistemlerinin iterasyona bağlı çözümü ile hız, basınç ve sıcaklık gibi değişkenler verilen yakınsaklık ölçüsünü sağlayıcaya kadar güncellenir. Hazırlanabilecek en uygun ağ yapısı için hız, basınç ve sıcaklık değişiminin fazla olduğu bölgelerde daha sık ağ yapısı oluşturulmalıdır. Bu nedenle, kanatların olduğu kanal yüzeyleri en sık ağ yapısının olduğu kısımlardır ve diğer bölgelerde daha seyrek ağ yapısı tercih edilmiştir. Sayısal modelde, kanalın kanatlı kısımlarının da olduğu katı bölgede 25000 hücreden oluşan dikdörtgensel ağ yapısı varken, akışkanın olduğu üst ve alt kanal kısımlarında 74000 elemandan oluşan dikdörtgensel ağ yapısı kullanılmış ve ayrıca sonuçların ağ yapısından bağımsızlığı da sağlanmıştır. Bununla birlikte, bu çalışmadaki hesaplamalarda standart $k-\epsilon$ türbülans modeli kullanılmıştır.

Kullanılan kanatçıklar türbülansa neden olduğundan sayısal hesaplamalarda seçilen kanatçıklı geometriler için standart $k-\epsilon$ türbülans modelinin uygun olduğu belirlenmiştir.

Geometri boyunca akış ve ısı transferinin çözümlemesi, zamandan bağımsız olarak kütlenin (sureklilik denklemi), momentumun ve enerjinin korunumu kanunlarından elde edilen kısmi türevli denklemelerin çözümlenmesi esasına dayanır, [12,20].

Süreklilik denklemi

$$\frac{\partial u}{\partial x} + \frac{\partial v}{\partial y} + \frac{\partial w}{\partial z} = 0 \quad (1)$$

Momentum

x momentum denklemi

$$\rho \left(u \frac{\partial u}{\partial x} + v \frac{\partial u}{\partial y} + w \frac{\partial u}{\partial z} \right) = - \frac{\partial p}{\partial x} + \mu \left(\frac{\partial^2 u}{\partial x^2} + \frac{\partial^2 u}{\partial y^2} + \frac{\partial^2 u}{\partial z^2} \right) \quad (2)$$

y momentum denklemi

$$\rho \left(u \frac{\partial v}{\partial x} + v \frac{\partial v}{\partial y} + w \frac{\partial v}{\partial z} \right) = - \frac{\partial p}{\partial y} + \mu \left(\frac{\partial^2 v}{\partial x^2} + \frac{\partial^2 v}{\partial y^2} + \frac{\partial^2 v}{\partial z^2} \right) \quad (3)$$

z momentum denklemi

$$\rho \left(u \frac{\partial w}{\partial x} + v \frac{\partial w}{\partial y} + w \frac{\partial w}{\partial z} \right) = - \frac{\partial p}{\partial z} + \mu \left(\frac{\partial^2 w}{\partial x^2} + \frac{\partial^2 w}{\partial y^2} + \frac{\partial^2 w}{\partial z^2} \right) \quad (4)$$

Enerji denklemi

$$u \frac{\partial T}{\partial x} + v \frac{\partial T}{\partial y} + w \frac{\partial T}{\partial z} = \left(\frac{k}{\rho c_p} \right) \left(\frac{\partial^2 T}{\partial x^2} + \frac{\partial^2 T}{\partial y^2} + \frac{\partial^2 T}{\partial z^2} \right) \quad (5)$$

Bu denklemelerde, ρ yoğunluk, μ dinamik viskozite, p basınç, k ısıl iletkenlik, T sıcaklık, c_p özgül ısı ve u, v, w ise sırasıyla x, y ve z yönlerindeki hızlardır. Kullanılan standart $k-\epsilon$ türbülans modelinde, türbülans kinetik enerji, k' dissipasyon terimi, ϵ ve viskoz kaybolma terimi, ϕ kullanılmaktadır.

Daimi akış için türbülans kinetik enerjisi denklemi

$$\begin{aligned} \frac{\partial(\rho u k')}{\partial x} + \frac{\partial(\rho v k')}{\partial y} + \frac{\partial(\rho w k')}{\partial z} = \\ \frac{\partial}{\partial x} \left(\frac{\mu_t}{\sigma_k} \frac{\partial k'}{\partial x} \right) + \frac{\partial}{\partial y} \left(\frac{\mu_t}{\sigma_k} \frac{\partial k'}{\partial y} \right) + \\ \frac{\partial}{\partial z} \left(\frac{\mu_t}{\sigma_k} \frac{\partial k'}{\partial z} \right) + \mu_t \phi - \rho \varepsilon \end{aligned} \quad (6)$$

Türbülans viskozitesi

$$\mu_t = C_\mu \cdot \rho \cdot \frac{k'^2}{\varepsilon} \quad (7)$$

Türbülans kinetik enerji

$$k' = \frac{1}{2} \left(\overline{u^2} + \overline{v^2} + \overline{w^2} \right) \quad (8)$$

Viskoz kaybolma terimi

$$\phi = 2\mu \left[\left(\frac{\partial u}{\partial x} \right)^2 + \left(\frac{\partial v}{\partial y} \right)^2 \right] + \mu \left(\frac{\partial v}{\partial x} + \frac{\partial u}{\partial y} \right)^2 \quad (9)$$

Türbülans kinetik enerji kaybolma denklemi

$$\begin{aligned} \frac{\partial(\rho u \varepsilon)}{\partial x} + \frac{\partial(\rho v \varepsilon)}{\partial y} + \frac{\partial(\rho w \varepsilon)}{\partial z} = \\ \frac{\partial}{\partial x} \left(\frac{\mu_t}{\sigma_\varepsilon} \frac{\partial \varepsilon}{\partial x} \right) + \frac{\partial}{\partial y} \left(\frac{\mu_t}{\sigma_\varepsilon} \frac{\partial \varepsilon}{\partial y} \right) \\ + \frac{\partial}{\partial z} \left(\frac{\mu_t}{\sigma_\varepsilon} \frac{\partial \varepsilon}{\partial z} \right) + C_{1\varepsilon} \mu_t \frac{\varepsilon}{k'} \phi - C_{2\varepsilon} \rho \frac{\varepsilon^2}{k'} \end{aligned} \quad (10)$$

C_μ , $C_{1\varepsilon}$, $C_{2\varepsilon}$, σ_k ve σ_ε katsayıları sabit olup
 $C_\mu = 0,09$, $C_{1\varepsilon} = 1,44$, $C_{2\varepsilon} = 1,92$, $\sigma_k = 1$ ve
 $\sigma_\varepsilon = 1,3$ 'dür.

Reynolds sayısı

$$Re = \frac{V_\infty D_h}{\nu} \quad (11)$$

Burada, D_h kanalın hidrolik çapıdır.

$$D_h = \frac{4A_c}{P} = \frac{4(H_2 \cdot W)}{2(H_2 \cdot W)} \quad (12)$$

Aç kanalın kesit alanı, P ise kanalın çevre uzunluğudur.

Sınır şartı ve Nusselt sayısı aşağıdaki şekilde verilmiştir

$$-k \left(\frac{dT}{dn} \right)_{yüzey} = h(T_\infty - T_s) \text{ ve } Nu = \frac{h D_h}{k} \quad (13)$$

h yüzey ısı taşımım katsayısıdır.

Basınç düşüşü aşağıdaki şekilde hesaplanabilir

$$\Delta P_L = f \cdot \frac{L}{D_h} \cdot \frac{\rho V_m^2}{2} \quad (14)$$

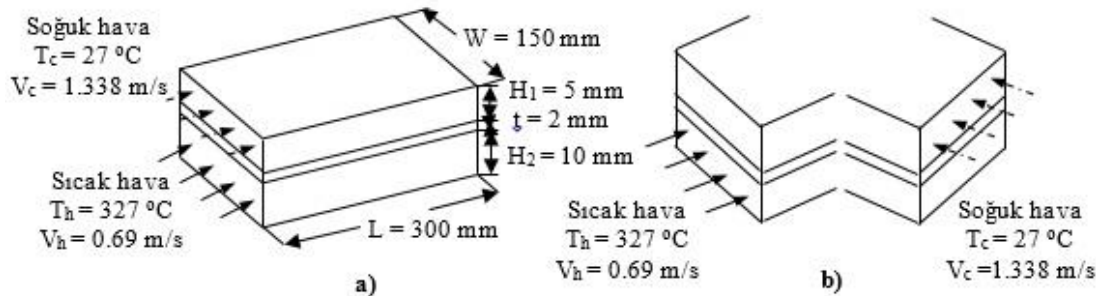
ΔP_L akış yönünde kanaldaki basınç düşüşü, f ise sürtünme faktöridür.

Kanat malzemesinin ıslı iletkenliği kanal boyunca ıslı dağılımı etkilediği için, ısı transferini artırmada kanatçık malzemesinin seçimi önemli bir faktördür. Bu nedenle, kanal malzemesi olarak yüksek ıslı iletkenliğe sahip, ucuz ve hafif olan alüminyum seçilmişdir. Kanatçıkların kanal yüzeyi ile bir bütün olarak üretiltiği varsayılarak, kanatçıklar ve yüzey arasındaki ıslı direnç ihmali edilmiştir.

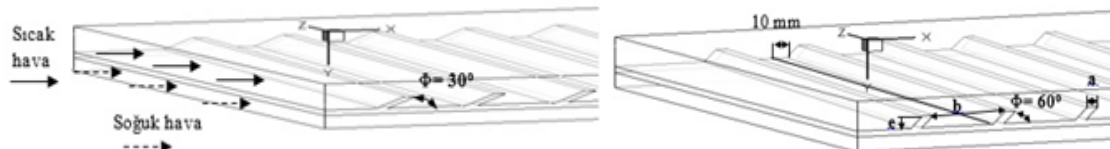
3. GEOMETRİK MODEL

Şekil 1'de üç boyutlu düz kanal geometrisinin perspektif görünüşü gösterilmekte iken, Şekil 2a ve Şekil 2b'de ise sırasıyla sayısal hesaplamalarda kullanılan 30° ve 60° kanatçık açılı modellere ait dikdörtgensel kanal geometrileri gösterilmektedir. Ayrıca, bu şekiller üzerinde sınır şartları da belirtilmiştir. Şekil 2a ve Şekil 2b'de kanatçıkların daha iyi görselleştirilebilmesi için kanalların ters çevrilmiş görüntüsü gösterilmektedir.

Plakalı Kanatçıklı İst Değiştircilerde Kanatçık Açısunun İst Transferine Olan Etkisinin Üç Boyutlu Sayisal Olarak İncelenmesi



Şekil 1. Düz kanal için perspektif görünüş a) paralel akış b) ters akış



Şekil 2. Sayısal hesaplamalarda kullanılan dikdörtgensel kanal modelleri

a) $\Phi = 30^\circ$, $e = 2 \text{ mm}$ b) $\Phi = 60^\circ$, $e = 2 \text{ mm}$

Kanatçık şekli	: Dikdörtgensel
Kanatçık yüksekliği (e)	: 2,4 mm
Kanatçık aralığı (b)	: 20, 30, 60 mm
Kanatçık genişliği (a)	: 3 mm
Kanatçık açısı (Φ)	: $30^\circ, 60^\circ$
Kanal boyu (L)	: 300 mm
Kanal genişliği (W)	: 150 mm
Üst kanal yüksekliği (H_1)	: 5 mm
Alt kanal yüksekliği (H_2)	: 10 mm
Katı yüzey kalınlığı (t)	: 2 mm
Reynolds sayısı	: 300, 400, 600
Sıcak akışkan sıcaklığı (T_h)	: 327°C
Soğuk akışkan sıcaklığı (T_c)	: 27°C
Sıcak hava giriş hızı (V_h)	: $1,338 \text{ m/s}$
Soğuk hava giriş hızı (V_c)	: $0,69 \text{ m/s}$

Bu çalışmada, düşük hızlarda kanatçık kullanımının ısı aktarımına etkisini görebilmek amacıyla Reynolds sayısının 400 olduğu değerdeki sonuçlar sunulmuştur. Ayrıca farklı Reynolds sayılarının ısı transferi üzerindeki etkisini görebilmek için Reynolds sayısının 300 ve 600 olduğu değerler için de araştırma yapılmıştır. 30° ve 60° kanat açılı kanallarda, iki kanatçık arası

uzaklık 20 mm iken kanalın giriş kısmı ile birinci kanatçık arası uzaklık 25 mm'dir.

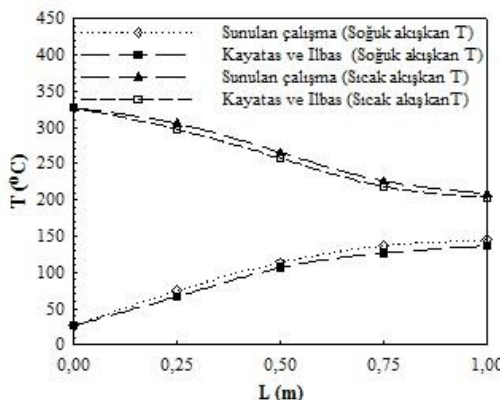
Her iki açılı kanatçık geometrisi için kanala 12 adet kanatçık yerleştirilmiş olup kanatçık yükseklikleri 2 mm'dir. Ayrıca, türbülansı artırabilmek için kanatçıklar yatay eksende 10 mm ötelerek yerleştirilmiştir (Şekil 2a, 2b).

Bu çalışma, belirtilen kabuller altında yapılmıştır:

- Akış üç boyutlu, zamandan bağımsız ve laminerdir;
- Kullanılan akışkan sıkıştırılamazdır;
- Kanatçık ve kanal malzemesi olarak alüminyum kullanılmıştır;
- Tabakalar arası ısıl temas tamdır;
- Kanalın alt ve üst bölümü için kullanılan akışkan havadır;
- Akışkanın ısıl özellikleri sabittir;
- Hem akışkan hem de katı malzeme için ısı üretimi söz konusu değildir.

4. SONUÇLARIN DEĞERLENDİRİLMESİ

Şekil 3'de Kayatas ve İlbas [21] tarafından yapılan çalışma ile sunulan çalışmanın sonuçları karşılaştırılmıştır. Sonuçların birbirlarıyla uyumlu olduğu Şekil 3'den görülebilmektedir ve bu nedenle sayısal sonuçların doğru ve kabul edilebilir olduğu sonucuna varılmıştır. Akışkanlar arasındaki sıcaklık farklılığının, ağ yapısından kaynaklandığı düşünülmektedir.

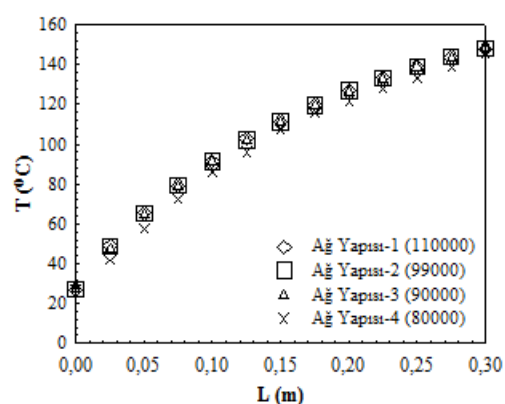


Şekil 3. Kanatçıklı kanal için Kayatas ve İlbas'ın çalışması ile sunulan çalışmanın karşılaştırılması

Şekil 5A ve 5B'de sırasıyla kanatçiksız düz kanal, 30° ve 60° kanatçık açısı, 2 mm kanatçık yüksekliği ve aynı zamanda yatay eksende 10 mm ötenlenmiş kanatçıklara sahip kanallar için soğuk ve sıcak akışkan sıcaklık dağılımları paralel ve ters akış durumlarında gösterilmektedir. Şekil 5A'da görüldüğü gibi her iki akış tipi için 30° açılı kanalda 60° açılı kanala göre daha fazla soğuk akışkan sıcaklık değişimi elde edilmektedir. Bu durum, 30° açılı kanalda artan turbülans etkisi ve ısı transfer yüzey alanıyla açıklanabilir. Böylece, 60° kanatçık açılı kanal ile karşılaştırıldığında 30° kanatçık açısı için sıcak akışkan sıcaklık değişimi daha fazla olmaktadır (Şekil 5B). Ayrıca, her iki kanatçık açısı için de soğuk ve sıcak akışkan sıcaklık konturu değişimleri düz kanaldan daha fazladır (Şekil 5A, 5B).

Şekil 6'da kanal boyunca paralel ve ters akış için soğuk akışkan sıcaklık değişimleri gösterilmektedir. 30° açılı kanatçıklı kanal, aynı

Sunulan çalışmanın sonuçlarının ağ yapısından olan bağımsızlığını belirlemek için kanatçıklı bir kanalda dikdörtgensel ağ elemanı sayısı değiştirilerek sonuçların değişimi incelenmiştir (Şekil 4). Kanal kesitinde 99.000 adet elemanın (kanatçıklı katı kısmında 25.000, havanın geçtiği kısmında 74.000 adet eleman) olduğu ağ yapısının yeterli olduğu sonucuna varılmıştır (110.000 adet elemanın olduğu sonuçla karşılaştırıldığında fark % 0,1'den daha azdır).

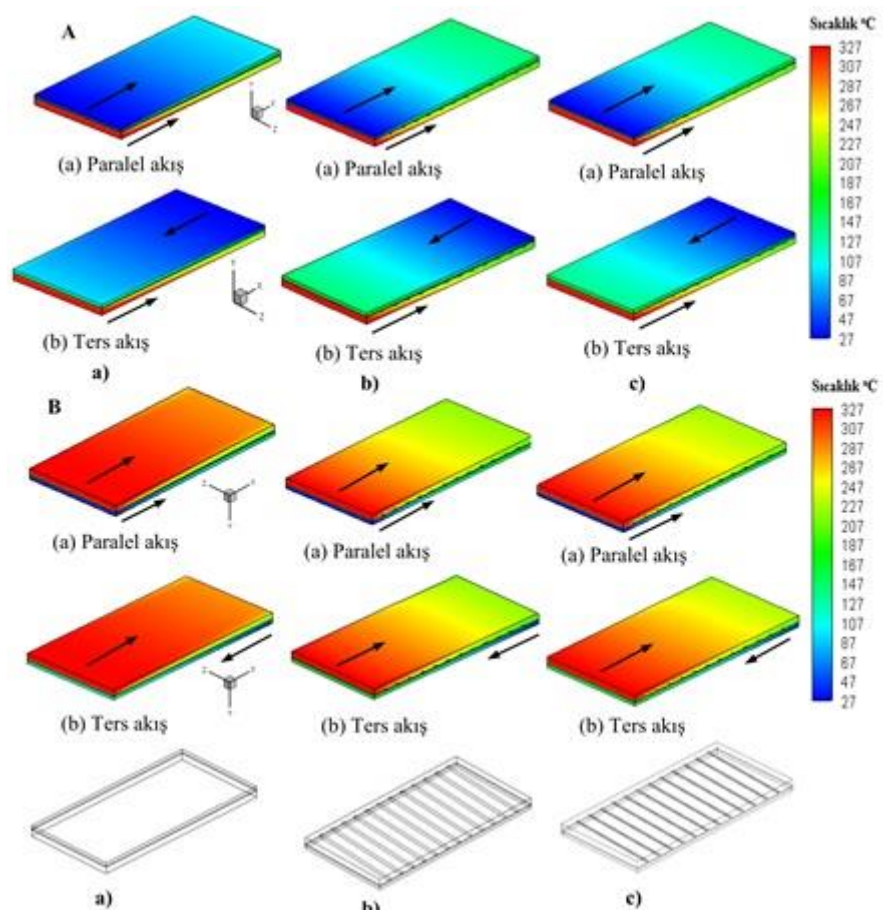


Şekil 4. Soğuk akışkan için ağ yapısının sıcaklık değişimine etkisi

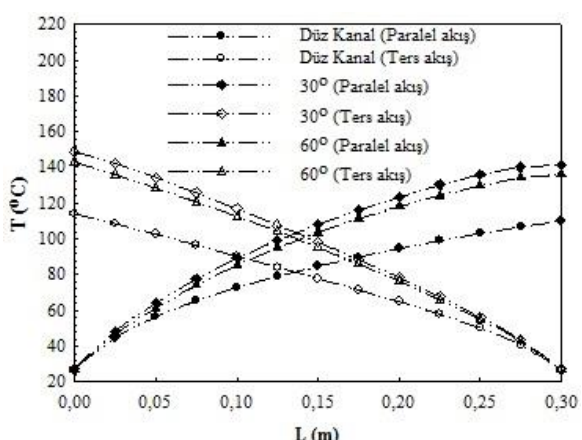
kanatçık yüksekliğinde ($e=2$ mm) 60° açılı kanaldan daha fazla ısı transfer yüzey alanına ve akışkanda daha fazla turbülans etkisine sahiptir. Böylece, paralel akışta 30° açılı kanalda düz kanalla karşılaştırıldığında kanal çıkışında soğuk akışkan sıcaklığında %8'lik bir artış elde edilirken, 60° açılı kanal için bu artış %6,7 olmaktadır. Ters akış durumunda ise bu artış, 30° açılı kanalda %9'a çıkmaktadır.

Düz, 30° ve 60° kanatçık açılı kanallar için kanal boyunca sıcak akışkan sıcaklık değişimleri paralel ve ters akış için Şekil 7'de belirtilmektedir. 60° kanatçık açılı kanalda ters akış için düz kanala göre sıcak akışkan çıkış sıcaklığı, girişteki 327°C 'lik sıcak akışkan sıcaklığına göre % 5 azalmakta iken bu azalma miktarı 30° kanatçık açılı kanalda %6'ya ulaşmaktadır. Bu sonuc, 30° açılı kanalda, 60° 'lık kanala göre ısı transfer oranının daha iyi olduğunu göstermektedir. Ayrıca, paralel akış için de benzer sonuç elde edilmektedir.

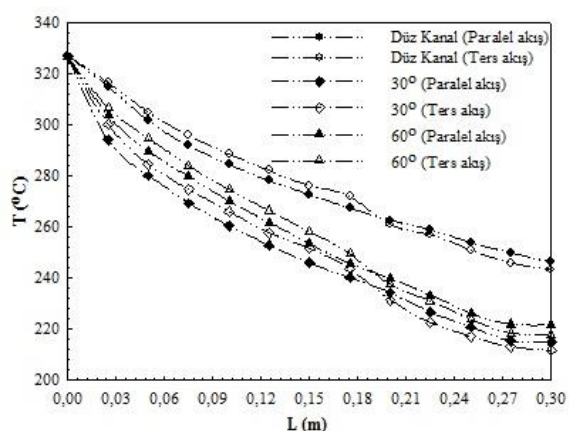
Plakalı Kanatçıklı Isı Değiştiricilerde Kanatçık Açısunun Isı Transferine Olan Etkisinin Üç Boyutlu Sayısal Olarak İncelenmesi



Şekil 5A. Soğuk akışkan için üç boyutlu sıcaklık dağılımı **5B.** Sıcak akışkan için üç boyutlu sıcaklık dağılımı **a)** Düz kanal, **b)** $\Phi = 30^\circ$ açılı kanal, **c)** $\Phi = 60^\circ$ açılı kanal ($b = 20$ mm, $e = 2$ mm)



Şekil 6. Paralel ve ters akışta kanal boyunca soğuk akışkan sıcaklık değişimi ($e = 2$ mm)



Şekil 7. Paralel ve ters akışta kanal boyunca sıcak akışkan sıcaklık değişimi ($e = 2$ mm)

Şekil 8a ve 8b'de sırasıyla 2 mm kanatçık yüksekliği ve 30° ve 60° kanatçık açılarına sahip plakalı ısı değiştiricilerde kanalın soğuk akışkan tarafından yüzeyi boyunca paralel akış için farklı Reynolds sayılarında noktasal Nusselt sayısı ve soğuk akışkan yüzey sıcaklık değişimini incelenmiştir. Şekil 8a ve 8b'den de görüldüğü gibi akışkan hızının artmasıyla ısı transferindeki iyileşme de artmaktadır. Bununla birlikte, paralel akışta kanal çıkışına doğru sıcak ve soğuk akışkanlar arasındaki sıcaklık farkı azaldığından analiz edilen Reynolds sayıları için de kanal boyunca çıkışa doğru ısı transfer oranı ve dolayısıyla noktasal Nu sayısı değerleri de azalmaktadır. Ayrıca, kanal girişinden 0,15 m uzaklıkta $Re=300$ 'de 30° açılı kanal için yüzey sıcaklık değeri 60° açılı kanaldan yaklaşık $3,5^\circ C$ daha fazladır (Şekil 8b). Bu sonuç, 30° kanatçık açılı plakalı ısı değiştiricisinin ısı transferi performansının daha iyi olduğunu bir kanıt olarak görülebilir.

Ters akış için 30° ve 60° kanatçık açılarına sahip plakalı ısı değiştiricilerde kanal yüzeyi boyunca farklı Re sayılarında noktasal Nu sayısı ve soğuk akışkan sıcaklık değişimini sırasıyla Şekil 9a ve 9b'de gösterilmektedir. İncelenen tüm Re sayıları ve kanatçık açıları için kanalın girişine doğru soğuk akışkan sıcaklığı arttığından ısı transfer oranı daha yüksektir. Bununla birlikte, incelenen Re sayısı aralığında en yüksek noktasal Nu sayısı değerlerine 30° kanatçık açılı kanalda $Re=600$ 'de ulaşmaktadır. Şekil 9b'deki sıcaklık değişim grafiği incelendiğinde ise kanal girişinden 0,075 m uzaklıkta 30° kanatçık açılı kanalda $Re=600$ ile aynı uzaklıkta $Re=300$ karşılaşıldığında $11,6^\circ C$ 'lik sıcaklık farkı olduğu görülmektedir.

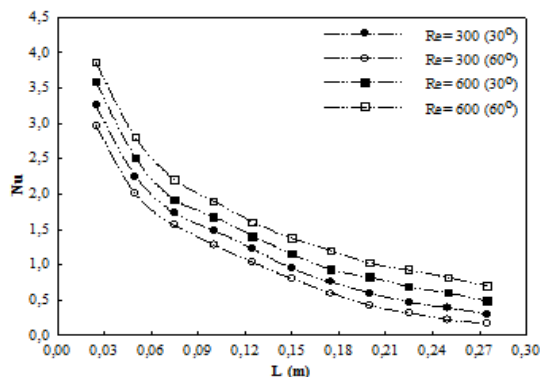
Şekil 10'da 60° kanatçık açılı kanalda $e=2$ mm ve $e=4$ mm olmak üzere farklı kanatçık yüksekliklerinin paralel ve ters akış durumlarında kanal boyunca soğuk akışkan sıcaklık değişimini üzerindeki etkisi gösterilmektedir. Kanatçık yüksekliğindeki artış, ısı transfer yüzey alanını artırarak soğuk akışkan sıcaklığının da artmasını sağlamaktadır.

30° kanatçık açılı ve 2 mm kanatçık yükseklikli kanalda $b=20$ mm ve $b=60$ mm kanatçık aralıkları için kanal boyunca soğuk akışkan sıcaklık değişimleri Şekil 11'de gösterilmektedir. Kanatçık aralığı arttığı zaman kanala yerleştirilen kanatçık sayısı azalacağından hem ısı transfer yüzey alanı hem de kanatçıklar tarafından oluşturulan akış dalgalanmaları azalacaktır. Şekil 11'de de görüldüğü gibi bu durum da kanal boyunca soğuk akışkanın sıcaklık değerinin azalmasına sebep olmaktadır. Bu nedenle, ince ve akışı engellemeyecek ölçüde sık aralıklı kanatçık tasarımının verimli olacağı söylenebilir.

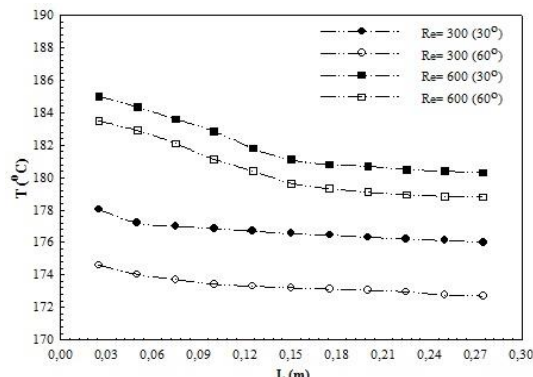
Şekil 12'de 30° ve 60° kanatçık açılı kanalların üst ve alt kısımlarında soğuk ve sıcak akışkanların geçtiği taraflarındaki yüzey sıcaklık dağılımları gösterilmektedir. Kanatçıklar sayesinde kanal boyunca küçük aralıklarda daha yüksek sıcaklık değişimleri elde edilebilmektedir. 60° açılı kanalla karşılaşıldığında, 30° açılı kanalda hem paralel hem de ters akış için sıcaklık dağılımı daha erken gelişim göstermekte ve daha yüksek sıcaklık değişimleri elde edilebilmektedir. Bununla birlikte, sıcaklık dağılımlarından her iki kanatçık açısı için ters akış kanal boyunca daha yüksek sıcaklık değişimini meydana getirdiği görülmektedir. Ayrıca, sıcaklık dağılımlarındaki oklar paralel ve ters akış için akış yönlerini belirtilmektedir.

2 mm kanatçık yüksekliğine sahip 30° ve 60° kanatçık açılı kanallarda soğuk akışkanın geçtiği kısımlarının üst yüzeylerindeki sıcaklık değişimleri Şekil 13'de gösterilmektedir. Düz kanal için paralel akış durumunda ilk sıcaklık değişimini kanalın giriş kısmından 0,1065 m uzaklıkta gelismeye başlarken, 30° kanatçık açılı kanal için bu ilk sıcaklık değişiminin 0,0455 m uzaklıkta olduğu görülmektedir. Ters akış durumunda da benzer sonuç elde edilmekte birlikte 30° kanatçık açısı için 60° açılı duruma göre sıcaklık daha önce gelişim göstermektedir. Aynı zamanda, değişim noktalarında en yüksek sıcaklık değerlerine her iki akış durumunda da 30° kanatçık açılı kanal için ulaşmaktadır.

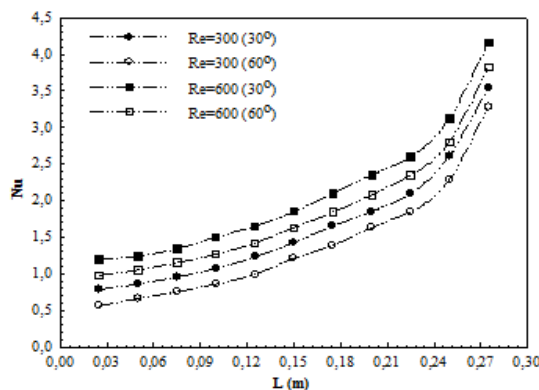
Plakali Kanatçıklı Isı Değiştiricilerde Kanatçık Açısunun Isı Transferine Olan Etkisinin Üç Boyutlu Sayısal Olarak İncelenmesi



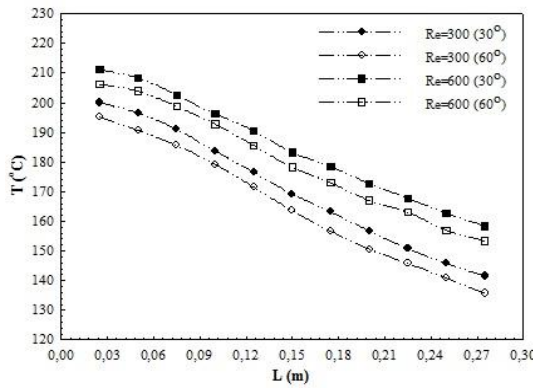
Şekil 8a. Paralel akışlı kanalda farklı Re sayılarında soğuk akışkanın noktasal Nusselt sayısı değişimi



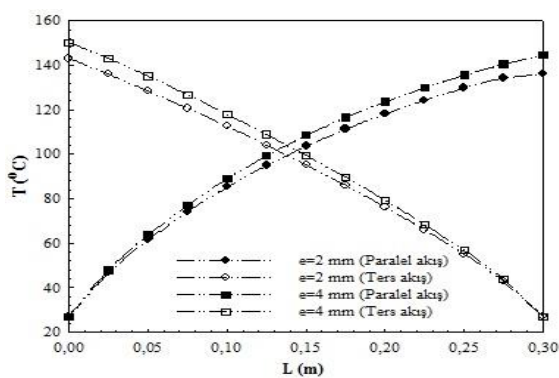
Şekil 8b. Paralel akışlı kanalda farklı Re sayılarında soğuk akışkanın sıcaklık değişimi



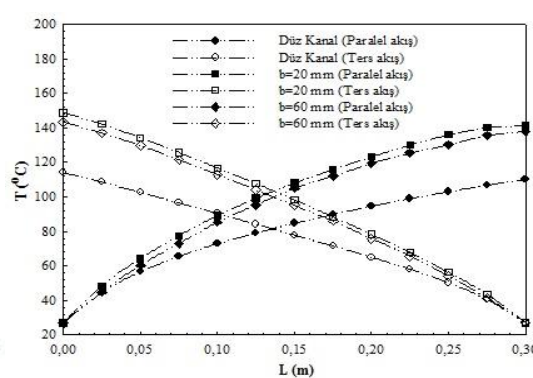
Şekil 9a. Ters akışlı kanalda farklı Re sayılarında soğuk akışkanın noktasal Nusselt sayısı değişimi



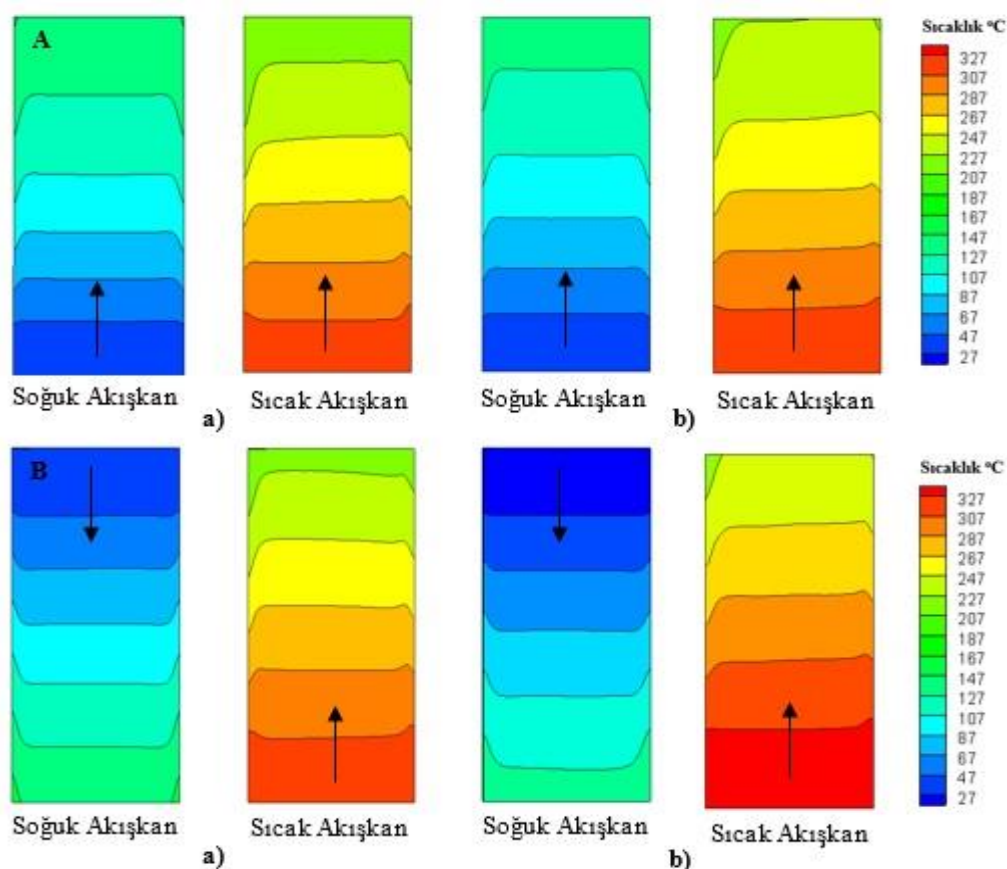
Şekil 9b. Ters akışlı kanalda farklı Re sayılarında soğuk akışkanın sıcaklık değişimi



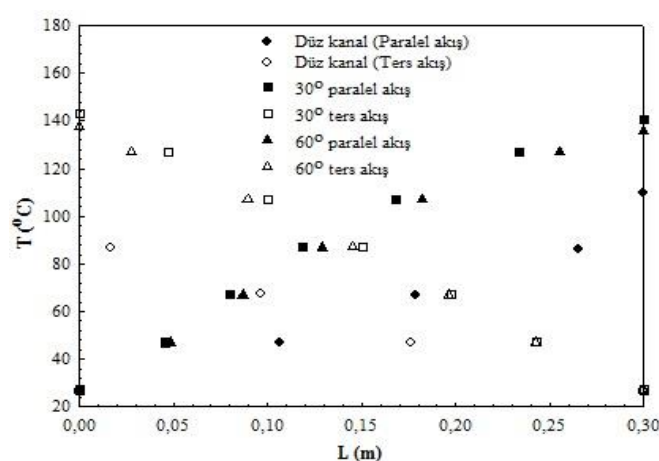
Şekil 10. 60° kanatçık açılı kanalda farklı kanatçık yükseklikleri için soğuk akışkan sıcaklık değişimi



Şekil 11. 30° kanatçık açılı kanalda farklı kanatçık aralıkları için soğuk akışkan sıcaklık değişimi ($e=2$ mm)



Şekil 12. Kanalın soğuk ve sıcak akışkan taraflarındaki sıcaklık dağılımları, A-Paralel akış
B-Ters akış a) $\Phi=30^\circ$ b) $\Phi=60^\circ$



Şekil 13. Kanal yüzeyi boyunca paralel ve ters akış için soğuk akışkan sıcaklık değişimi

Çizelge 1'de düz kanal, 30° ve 60° olmak üzere iki farklı kanatçık açısına sahip plakalı ist deşitiriciler için kanal boyunca basınç düşüşü değerleri gösterilmektedir. Aynı kanatçık yüksekliğinde daha fazla ısı transfer yüzey alanına sahip 30° kanatçık açılı plakalı ist deşitiricisinde basınç düşüşünün 60° kanatçık açılı ist deşitiricisine göre daha fazla olduğu görülmektedir. Kanatçıklar ısı transferini artırmalarının yanında akışa karşı direnç oluşturmaları sebebiyle kanatçiksiz düz kanala göre Çizelge 1'de de görüldüğü gibi basınç düşüşünü artırıcı etkiye sahiptirler. Basınç düşüşünün de gerekli olan pompalama gücünü artırması nedeniyle plakalı ist deşitiriciler tasaranırken kanatçık tasarımına dikkat edilmesi gerekmektedir.

Çizelge 1. İst deşitiriciler için basınç düşüşleri

İst deşitiricisi tipi	Basınç düşüşü (Pa)
Düz kanal	0.653
30° kanatçıklı	1.578
60° kanatçıklı	1.371

5. SONUÇLAR

Bu çalışmada, 30° ve 60° açılı ve akışa dik olarak yatayda 10 mm ötelenmiş dikdörtgensel kanatçık geometrisine sahip plakalı ist deşitiricilerde ısı transferi, basınç düşüşü ve akış özellikleri üç boyutlu, zamandan bağımsız ve sayısal olarak incelenmiştir. Çalışmada ayrıca, kanatçık yüksekliğinin, kanatçık aralığının etkisi de dikkate alınmış ve kanalın alt ve üst taraflarındaki sıcak ve soğuk akışkanların kanal dış yüzey sıcaklık dağılımları da incelenen farklı kanatçık açıları (30° ve 60°) için araştırılmıştır. Sıcaklık dağılımları ve basınç düşüşleri FLUENT paket programı kullanılarak elde edilmiştir. Kanatçıklar, ısı aktarım yüzeylerini genişletmeleri ve oluşturacakları akış dalgalarıyla aynı hacimde ısı aktarım miktarını artırmak amacıyla tasarlanmaktadır. Bununla birlikte, pratikte yüksek basınç düşüşü ve dolayısıyla yüksek pompalama gücünden kaçınmak için genellikle düşük akış hızlarında çalışılmaktadır. Bu nedenle çalışmada, düşük hızlarda kanatçık kullanımının ısı transferi üzerindeki etkisini görebilmek amacıyla Re sayısının değeri 400 alınarak sonuçlar değerlendirilmiştir. Basınç düşüşü sonuçları

incelediğinde, aynı kanatçık yüksekliğinde daha fazla ısı transfer yüzey alanına sahip 30° kanatçık açılı plakalı ist deşitiricisinde basınç düşüşünün 60° kanatçık açılı ist deşitiricisine göre daha fazla olduğu görülmektedir. Kanatçıklar ısı transferini artırmalarının yanında akışa karşı direnç oluşturmaktadırlar. Bu nedenle düz kanala göre daha fazla basınç düşüşü etkisine sahiptirler.

Bunun yanı sıra, çalışmada farklı Re sayılarının Nu sayısı üzerindeki etkisi de incelenmiş ve Re sayısındaki artış, Nu sayısında artışa neden olduğu görülmüştür. Çalışılan kanatçık aralıkları düşünüldüğünde, en iyi sonuca 20 mm kanatçık aralığında ulaşılmalıdır. Ayrıca, kanatçık yüksekliğinin artışı, ısı transfer oranını artırsa da kanatçıkların uygun şekilde kullanılmaması ısı geçişini artırmak yerine azaltabilir. Bu nedenle, ince ve akışı engellemeyecek ölçüde sık aralıklı kanatçık tasarımının verimli olacağı söylenebilir. Sonuçlar, soğuk akışkan sıcaklığının ters akış durumunda 30° kanatçıklı kanalda düz kanala göre kanal çıkışında %9 artırıldığını göstermektedir.

Çalışmada, plakalı kanatçıklı ısı deşitiricileri için özgün kanatçık geometrileri değerlendirilmiş ve ısı transferini artırmak için kullanılan kanatçıklar literatürde henüz araştırılmamıştır. Bu nedenle, plakalı kanatçıklı ısı deşitiricilerde daha fazla ısı transfer artış oranları elde edebilmek için bu tip dikdörtgensel kanatçık geometrilerinin ısı transfer performans özelliklerinin ve bununla birlikte basınç düşüşlerinin araştırılması gerekmektedir. Bu çalışmada, kanatçık açısı, kanatçık yüksekliği ve kanatçıklar arası mesafe, akıştaki türbülansı artırmak için kanatçıkların akışa dik olarak yatayda 10 mm ötelenmesiyle değerlendirilerek plakalı kanatçıklı ısı deşitiricilerinin verimliliğinin artırılması amaçlanmıştır. Sonuçlar, düz kanalla kanatçıklı kanalların karşılaştırılmasıyla sıcaklık dağılımları, basınç düşüşü, noktasal sıcaklık ve Nusselt sayısı değişimleri olarak farklı kanatçık açıları ve akış tipleri için sunulmuştur.

Sonuç olarak bu çalışmadan elde edilen verilerin, plakalı kanatçıklı ısı deşitiricilerinin tasarım açısından yapılacak olan doğrudan uygulamalarda büyük öneme sahip olduğu ve plakalı kanatçıklı ısı deşitiricilerin optimizasyonunda kullanılabileceği düşünülmektedir.

6. KAYNAKLAR

1. Sunden, B., 1999. Heat Transfer and Fluid Flow in Rib-Roughened Rectangular Ducts, Heat Transfer Enhancement of Heat Exchangers, (Ed.) S. Kakac, Netherlands: Kluwer Academic Publishers, 355, 123-140.
2. Tauscher, R., Mayinger, F., 1999. Heat Transfer Enhancement in a Plate Heat Exchanger with Rib-Roughened Surfaces, Heat Transfer Enhancement of Heat Exchangers, (Ed.) S. Kakac, Netherlands: Kluwer Academic Publishers, 355, 207-221.
3. Lee, C. K., Abdel-Moneim, S. A., 2001. Computational Analysis of Heat Transfer in Turbulent Flow Past a Horizontal Surface with Two-Dimensional Ribs, Int. Comm. Heat Mass Transfer, 28 (2), 161-170.
4. Acharya, S., Dutta, S., Myrum, T.A., Baker R.S., 1993. Periodically Developed Flow and Heat Transfer in a Ribbed Duct, Int. J. Heat Mass Transfer, 36 (8), 2069-2082.
5. Liou T.M., Chang, Y., Hwang, D.W., 1990. Experimental and Computational Study of Turbulent Flows in a Channel with Two Pairs of Turbulence Promoters in Tandem, ASME J. Fluids Eng., 112 (3), 302-310.
6. Liou, T. M., Hwang, J. J., 1992. Developing Heat Transfer and Friction in a Ribbed Rectangular Duct with Flow Separation at Inlet, ASME J. Fluids Eng., 114 (3), 565-573.
7. Kaya, D., Buyruk, E., Can, A., Fertelli, A., 2007. Numerical Study of Heat Transfer Characteristics of Extended Surfaces, Strojarstvo, 49 (2), 137-144.
8. Buyruk, E., Karabulut, K., Karabulut, O. O., 2013. Three-Dimensional Numerical Investigation of Heat Transfer for Plate Fin Heat Exchangers, Heat and Mass Transfer, 49 (6), 817-826.
9. Buyruk, E., Karabulut, K., 2013. Numerical Investigation into Heat Transfer for Three-Dimensional Plate Fin Heat Exchangers with Fins Placed Perpendicular to Flow, Transactions of Famina, 37 (2), 87-102.
10. Buyruk, E., Karabulut, K., 2015. Numerical Study of Heat Transfer Enhancement and Flow Characteristics of Three-Dimensional Plate Fin Heat Exchangers, Heat Transfer Research, 46 (9), 819-837.
11. Ganzarolli, M. M., Alternani, C. A. C., 2010. Optimum Fin Spacing and Thickness of a Finned Heat Exchanger Plate, Heat Transfer Engineering, 31 (1), 25-32.
12. Wang, Y. Q., Dong, Q. W., Liu, M. S., Wang, D., 2009. Numerical Study on Plate Fin Heat Exchangers with Plain Fins and Serrated Fins at Low Reynolds Number, Chem. Eng. & Tec., 32 (8), 1219-1226.
13. Wen, J., Yang, H., Tong, X., Li, K., Wang, S., Li, Y., 2016. Optimization Investigation on Configuration Parameters of Serrated Fin in Plate-Fin Heat Exchanger Using Genetic Algorithm, Int. J. Thermal Sciences, 101, 116-125.
14. Masliyah, J. H., Nandakumar, K., 1976. Heat Transfer in Internally Finned Tubes, Trans. ASME J. Heat Transfer, 98 (2), 257-261.
15. Gupta, M., Kasana, K. S., Vasudevan, R., 2009. A Numerical Study of the Effect of Flow Structure and Heat Transfer of a Rectangular Winglet Pair in a Plate Fin Heat Exchangers, J. Mech. Eng. Science, 223 (9), 2109-2215.
16. Salehi, S., Afshin, H., Farhaneh, B., 2015. Numerical Investigation of the Inlet Baffle, Header Geometry and Triangular Fins Effects on Plate-Fin Heat Exchangers Performance, Heat Transfer Engineering, 36 (16), 1397-1408.
17. Zhu, Y. H., Li, Y. Z., 2008. Three Dimensional Numerical Investigation on the Laminar Flow and Heat Transfer in Four Basic Fins of Plate Fin Heat Exchangers, Trans. ASME J. Heat Transfer, 130, 1-8.
18. Dixit, A., Patil, K., 2015. Heat Transfer Characteristics of Grooved Fin Under Forced Convection, Heat Transfer Engineering, 36 (16), 1409-1416.
19. Wasewar, K.L., Hargunai, S., Atluri, P., Kumar, N., 2007. CFD Simulation of Flow Distribution in the Header of Plate Fin Heat Exchangers, Chem. Eng. & Tech., 30 (10), 1340-1346.
20. FLUENT User's Guide, 2003. Fluent Inc. Lebanon, NH.
21. Kayatas, N., Ilbas, M., 2005. İç İçe Borulu Model Bir Isı Değiştiricisinde Isı Transferinin

Plakalı Kanatçıklı Isı Değiştiricilerde Kanatçık Açısının Isı Transferine Olan Etkisinin Üç Boyutlu Sayısal Olarak İncelenmesi

İyileştirilmesinin Sayısal Olarak İncelenmesi,
Erciyes Üniversitesi Fen Bilimleri Enstitüsü
Dergisi, 21 (1-2), 128-139.